———— РАСТВОРЫ

УДК 541.64:532.73:547.867

ОСОБЕННОСТИ РАСТВОРЕНИЯ СОПОЛИМЕРА ПОЛИАКРИЛОНИТРИЛА, СОДЕРЖАЩЕГО МЕТИЛСУЛЬФОГРУППЫ, В N-МЕТИЛМОРФОЛИН-N-ОКСИДЕ

© 2020 г. Л. К. Голова^{а,*}, Г. Н. Бондаренко^а, И. С. Макаров^а, Л. К. Кузнецова^a, М. И. Виноградов^a, В. Г. Куличихин^a

^а Институт нефтехимического синтеза им. А.В. Топчиева Российской академии наук 119991 Москва, Ленинский пр., 29, Россия

*e-mail: glk@ips.ac.ru

Поступила в редакцию 14.04.2020 г. После доработки 02.06.2020 г. Принята к публикации 18.06.2020 г.

Изучен процесс твердофазного растворения сополимера полиакрилонитрила, содержащего ионные сульфогруппы, в электронодонорном растворителе — N-метилморфолин-N-оксиде в зависимости от его кристаллогидратной формы и режимов приготовления. Выполнены оптические исследования процесса перехода твердофазных систем сополимер—растворитель в вязкотекучее состояние, которые позволили построить кривые растворимости и выявить стадии морфологических превращений в процессе растворения, объясняющие их характер. Методом ИК-спектроскопии изучены смесевые твердофазные системы и проанализированы особенности взаимодействий функциональных групп сополимера с различными кристаллогидратами растворителя как в ходе стандартного механического смешения, так и механохимической активации в условиях интенсивного сдвигового деформирования, предопределяющего формирование твердых растворов.

DOI: 10.31857/S2308112020060036

ВВЕДЕНИЕ

Основными полимерами — источниками прекурсоров углеродных волокон, находящими широкое применение в аэрокосмической, оборонной и автомобильной промышленностях, а также медицинской, спортивной и других сферах народного хозяйства, являются полиакрилонитрил и целлюлоза [1—5]. Прекурсоры на основе нефтяных и каменноугольных пеков, лигнина, поливинилиденхлорида, фенольных смол и синтезированные на их основе углеродные волокна существенно проигрывают по своим механическим свойствам углеродным волокнам из ПАН и целлюлозы [6—9].

Прекурсоры ПАН характеризуются высоким выходом углерода при карбонизации, а представленные углеродные волокна обладают высокими механическими характеристиками [10—14]. Для получения углеродных волокон используют не гомополимер, а сополимеры различного состава [15—17]. Это можно объяснить тем, что первая стадия термомообработки ПАН — термоокислительная стабилизация в случае гомополимера сопровождается взрывным выделением тепла, приводящим к ухудшению свойств углеродных волокон. С целью контроля и регулирования ин-

тенсивности экзотермических реакций окисления в ПАН вводят сомономеры: акриловую и итаконовую кислоты [18—20]. Наряду с кислотными сомономерами, в макромолекулы ПАН добавляют нейтральные сомономеры, в частности метилакрилат, метилметакрилат, винилацетат и другие [21, 22]. Эти соединения повышают сегментальную подвижность полимерных цепей, приводящую к возрастанию ориентации и механических свойств прекурсоров и, соответственно, углеродных волокон.

Особенности химического строения ПАН, а именно наличие в молекуле акрилонитрила полярной связи −С≡N, ограничивает его растворимость. Полиакрилонитрил растворяется только в концентрированных водных растворах роданидов натрия и кальция, а также в апротонных полярных растворителях [23−25]. В начале 70-х годов XX века появился и начал активно внедряться в основном для растворения полимеров с развитой сеткой водородных связей, включая целлюлозу, новый апротонный растворитель − N-метилморфолин-N-оксид (NMMO) [26−28], который обладал самой высокой электронодонорной активностью, измеренной по отношению к акцепторным структурированным жидкостям (таб-

Таблица 1. Константа K комплексообразования донорных растворителей с фенолом и целлобиозой в хлороформе

Донорный растворитель	Донорные группы	<i>K</i> (л/моль) при 20°С	
		фенол	целлобиоза
NMMO	N-O	0.89	0.51
ДМАА	C=O	0.71	_
ДМСО	S=O	0.47	0.40

лица 1). По этой характеристике он превосходил известные популярные донорные растворители, такие как ДМАА и ДМСО [29].

NMMO существует в нескольких термодинамически равновесных кристаллогидратных формах, причем с уменьшением содержания в нем воды повышается температура плавления кристаллогидратов и увеличивается их растворяющая способность [30]. Использование данного апротонного растворителя, как прямого растворителя целлюлозы и ее смесей с полиэфирами и полиамидами, описано в многочисленных публикациях [26, 31-33]. Что же касается его активности по отношению к полиакрилонитрилу, то авторами настоящей работы впервые были проведены исследования растворимости гомополимера ПАН, а также различных двойных и тройных сополимеров на основе акрилонитрила в NMMO по разработанному способу твердофазного растворения, т.е. в условиях воздействия на смесевую твердофазную систему интенсивного сдвига [34, 35]. Так, установлено, что NMMO обладает высокой растворяющей способностью по отношению к сополимерам акрилонитрила, содержащим карбоксильные группы. Были получены твердые растворы сополимеров ПАН с концентрацией до 30–35%, которые при повышении температуры до точки плавления соответствующего кристаллогидрата этого апротонного растворителя (85–130°C) переходят в текучее состояние и могут быть использованы в качестве прядильных растворов при формовании.

Детальное изучение механизма твердофазного растворения сополимеров ПАН в NMMO выявило, что в процессе твердофазной активации системы между ними протекают реакции комплексообразования, при этом доминирующим является взаимодействие между электроноакцепторными карбоксильными группами в сополимерах ПАН и электронодонорной высокополярной группой $N\rightarrow O$ в молекулах NMMO [35]. Выше 125°C уже в вязкотекучих растворах сополимеров начинают протекать процессы циклизации групп СN с формированием в макромолекулах областей полисопряжения. При этом растворы сохраняют текучесть. Подобные структурные превращения в макромолекулах ПАН на стадии прядильных растворов и формования волокон-прекурсоров создают реальные предпосылки частичного или полного осуществления процесса термоокисления в растворе ПАН, что при условии соответствующей коррекции режима термолиза позволяет достичь существенного энергетического выигрыша при получении углеродных волокон.

В этой связи, вызывает интерес исследование растворимости в NMMO сополимеров ПАН, где присутствуют не карбоксильные, а более полярные сульфонатные группы, способные образовывать высокоэнергетические связи с ним, имеющим основную природу. Известно [36], что при производстве штапельного волокна "NitroneD", разработанного фирмой "SNIABPD" (Италия) по технологии получения прядильных растворов в ДМФА, наряду с акрилонитрилом и метилакрилатом в систему вводят 2-акриламид-2-метилпропансульфокислоты. Однако его добавляют только с целью улучшения потребительских свойств текстильных волокон: окрашиваемости и повышения их гигроскопичности.

Особенности сополимера ПАН, содержащего ионные сульфогруппы и NMMO, т.е. их высокая реакционная активность в условиях высокотемпературного режима растворения, могут способствовать, с одной стороны, получению гомогенных прядильных растворов повышенной концентрации, а с другой — увеличивать вероятность протекания реакций циклизации (ускорять термоокислительные процессы сополимера ПАН уже на стадии растворения).

Целью настоящей работы является исследование растворимости сополимера ПАН, содержащего метилсульфонатный сомономер (ПАН-МС), в различных кристаллогидратных формах NMMO с варьируемой предысторией приготовления растворов и изучение с помощью ИК-спектроскопии механизма их взаимодействия в системе.

ЭКСПЕРИМЕНТАЛЬНАЯ ЧАСТЬ

Использовали сополимер ПАН, содержащий метилсульфонатный сомономер ("Good Fellow", Великобритания) следующего состава: 93.9% акрилонитрила, 5.8% метилакрилата, 0.3% метилового эфира сульфоновой кислоты. Средневесовая молекулярная масса сополимера $M_w = 85$ кг/моль, средний размер частиц 50 мкм. Растворителем ПАН служил моногидрат N-метилморфолин-Nоксида (МГ-NMMO) с содержанием воды ~13.3% и температурой плавления $T_{\rm пл} = 78$ °C, а также NMMO с содержанием воды 8–10% и $T_{\rm пл} = 120$ –140°C производства компании "Demochem" (Китай).

Твердофазные смеси ПАН-МС с кристаллогидратами МГ-NMMO и NMMO готовили механическим смешением и твердофазной активацией, осуществляемой под воздействием сдвигового деформирования, согласно методике, описанной в работах [34, 35, 37].

Процессы растворения ПАН-МС и морфологические превращения твердофазных систем ПАН-МС—NMMO в процессе их перехода в вязкотекучее состояние исследовали с помощью поляризационных микроскопов "Boetius" ("VEB Kombinat Nadema", Германия) и БИОМЕД-6ПО ("Биомед", Россия). Растворение ПАН-МС в различных гидратных формах NMMO осуществляли при нагревании твердофазной смеси растворителя и полимера на предметном столике микроскопа со скоростью 4 град/мин. За точку растворения принимали температуру образования гомогенного прозрачного слоя.

ИК-спектры твердофазных смесей сополимера ПАН-МС с кристаллогидратами NMMO регистрировали в режиме пропускания и в режиме отражения на ИК-микроскопе "HYPERION-2000", сопряженном с ИК-фурье-спектрометром IFS 66 v/s ("Bruker", Германия) (кристалл -Ge, скан. 50, разрешение 2 cm^{-1} , диапазон 4000—600 cm^{-1}). Регистрацию спектров НПВО для каждого предварительно сканированного образца (в виде однородного хорошо перетертого порошка) проводили не менее 5 раз с различных мест для проверки воспроизводимости спектров и однородности образца. Математическую обработку спектров (приведение к базовым линиям, нормировка, коррекция ATR на Ge-кристалл) осуществляли в программном пакете OPUS-7. По оси абсцисс для всех представленных спектров задавали волновое число (v, cm^{-1}) , а по оси ординат — оптическую плотность (I).

РЕЗУЛЬТАТЫ И ИХ ОБСУЖДЕНИЕ

Растворимость ПАН, содержащего метилсульфонатный сомономер, в различных гидратных формах NMMO

На рис. 1 показана зависимость температуры, при значениях которой происходит переход систем ПАН-МС в МГ-NММО и в высокоплавком NMMO с разным содержанием полимера в прозрачный текучий раствор (далее — кривые растворимости). Данные представлены при нагревании твердофазных смесей, полученных как механическим смешением компонентов, так и подвергнутых механохимической активации.

Зависимость растворимости механической смеси ПАН-МС, в МГ-NММО (кривая I) от температуры имеет линейный характер, в то время как растворимость активированного образца (кривая 2) после линейного роста температуры растворения от 78 до 120° С (при увеличении содержания полимера в растворе до 5%) существенно замедляется, и температура растворения плавно увеличивается с возрастанием концентрации

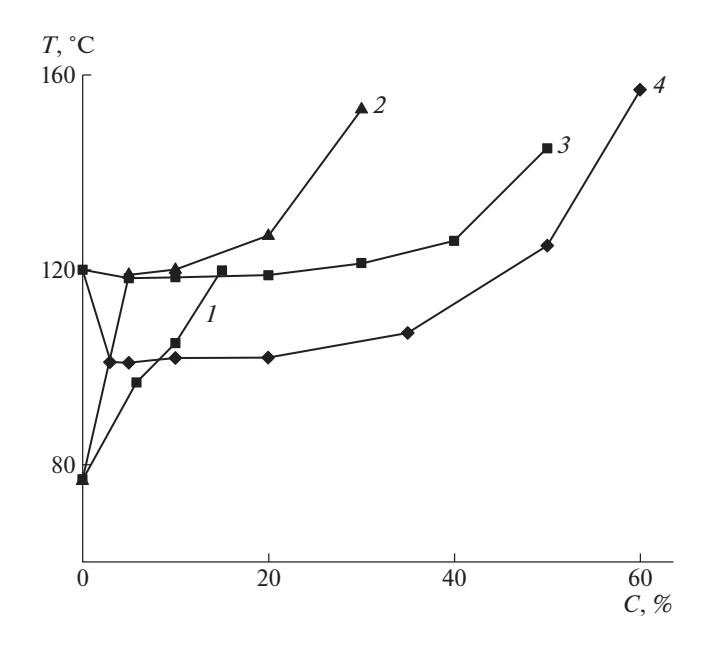


Рис. 1. Кривые растворимости ПАН-МС в МГ-NMMO (1, 2), то же в высокоплавком NMMO (3, 4) в ходе механического смешения (1, 3) и механохимической активации (2, 4).

полимера до предельных значений (до 30%). Ход кривых растворимости смесей в NMMO имеет иной характер. Так, температура растворения механической смеси, равная 120°C (кривая 3), практически постоянная вплоть до 30%-го содержания сополимера, а при дальнейшем повышении температуры концентрация растворенного сополимера плавно возрастает. Температура растворения активированной смеси (кривая 4) при 3%-ном ПАН-МС в растворе неожиданно снижается с 120 до 100°C, а затем с разницей в 20°C практически параллельна кривой 3 до содержания сополимера в растворе ~35%. Затем температура растворения резко возрастает до 155°C, соответствующей получению предельной 60%-ной концентрации раствора.

Для установления причин столь неожиданных по форме зависимостей точки растворения от концентрации вместо прямой пропорциональности, процесс растворения был визуализирован. На рис. 2 представлены микрофотографии, соответствующие различным стадиям растворения активированной твердофазной смеси с 5% ПАН-МС в МГ-NMMO.

Как видно на рис. 2а, на первом этапе растворения при 80° С частицы сополимера набухают в расплаве растворителя и становятся оптически прозрачными, практически не меняя своей формы. При дальнейшем нагревании (рис. 2б) система трансформируется в эмульсию с каплями дисперсной фазы предраствора ПАН-МС с достаточно широким распределением капель по размерам.

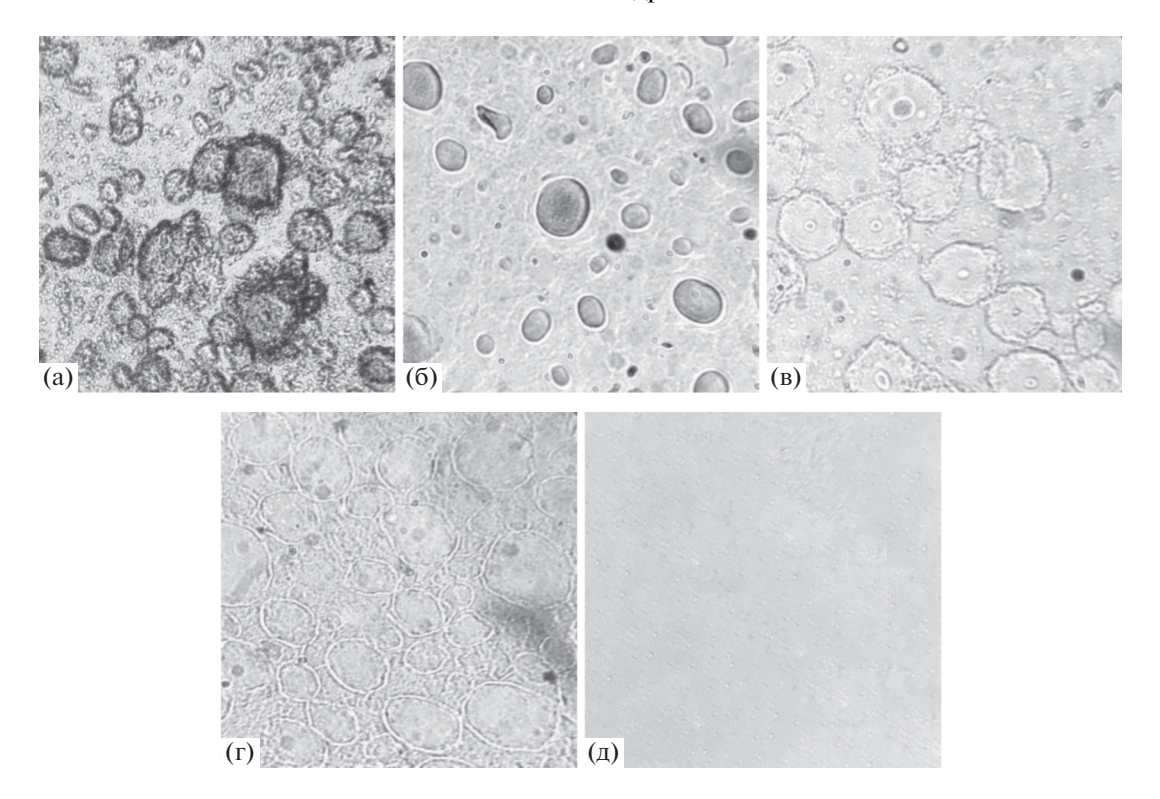


Рис. 2. Стадии растворения 5%-ной активированной смеси ПАН-МС-МГ-NMMO при 80 (а), 95 (б), 105 (в), 115 (г) и 120° С (д).

По мере повышения температуры до 105° С (рис. 2в) морфология системы претерпевает изменения: капли раствора ПАН становятся практически сферическими и более однородными по размерам, сохраняя поверхность раздела с растворителем. При этом в пределах одной и той же капли растворитель может существовать и в твердом, и в расплавленном состоянии, в результате чего формируется морфология "капля в капле", причем как концентрация раствора в двух областях капли, так и вязкость остаются различными.

Повышение температуры до 115°C (рис. 2г) инициирует полную гомогенизацию раствора внутри капель, которые начинают коалесцировать вплоть до формирования гомогенной системы при 120°C (рис. 2д). Для достижения полной однородности весьма продуктивно механическое перемешивание, например, в ходе течения предраствора через узкие каналы.

Изменение морфологической картины по мере повышения температуры растворения активированного ПАН-МС в МГ-NMMO, т.е. формирование эмульсий раствора полимера в растворителе с ярко выраженной межфазной границей капель и наличием внутри капель кристаллического растворителя, является характерной особенностью процесса. По-видимому, наблюдаемые морфологические трансформации обусловлены перераспределением воды в системе,

приводящей к перекристаллизации МГ-NMMO с образованием более высокоплавкого NMMO. Этот процесс приводит к формированию градиентной по концентрации структуры полимерного раствора типа "капля в капле", в целом, как варианта двойной эмульсии. Такое строение системы на стадии растворения происходит, вероятно, в результате энергетически сильного взаимодействия ионных сульфонатных групп сополимера ПАН с электронодонорной группой N→O молекул NMMO, способствующего изменению состава кристаллогидрата NMMO.

Для установления истинной природы выявленных закономерностей и подтверждения высказанных предположений о характере взаимодействий сополимер—растворитель в исследуемых системах были проведены ИК-спектроскопические исследования.

ИК-спектры твердофазных систем ПАН-метилсульфонатный сомономер—NMMO

На рис. 3 представлен спектр ПАН-МС, где проявляются все полосы, характеризующие структуру ПАН, а также полоса 1727 см⁻¹ от карбонильных групп звеньев метилакрилата. Хорошо видны в спектре и полосы, квалифицирующие сульфогруппу: 1228 и 1040 см⁻¹, относящиеся к колебаниям связей S=O и S-O, 830 и 636 см⁻¹ соответственно. Несмотря на невысокое содер-

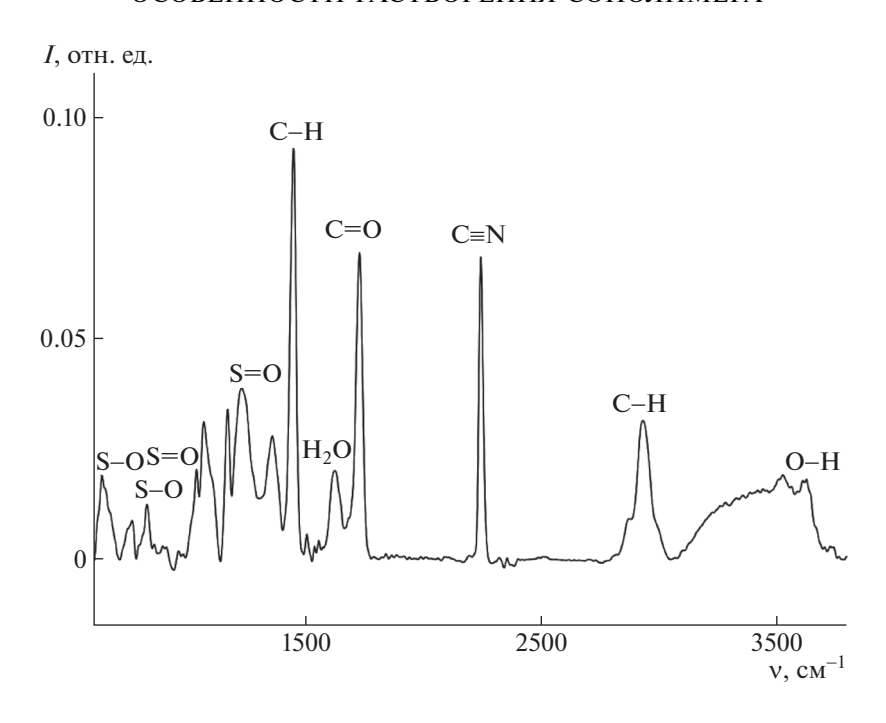


Рис. 3. ИК-спектр ПАН-МС.

жание сульфогрупп в составе полимера, эти полосы хорошо идентифицируются благодаря своей высокой интенсивности, поскольку они относятся к валентным и деформационным колебаниям полярных связей в составе сульфогрупп.

Присутствие ионных сульфогрупп в составе сополимера повышает его гидрофильность, и в спектре проявляются полосы, характерные для воды ($3300-3600~{\rm cm^{-1}}-{\rm v_{OH}}$ и $1622~{\rm cm^{-1}}-{\delta_{\rm HOH}}$). Широкая полоса в области $3500~{\rm cm^{-1}}$ свидетельствуют о присутствии сильно связанных водородными связями молекул воды в ПАН-МС. Однако достаточно узкие полосы $3621~{\rm u}$ $3610~{\rm cm^{-1}}$ и высокая интенсивность полосы деформационных колебаний молекул воды $-1622~{\rm cm^{-1}}$ указывают на присутствие слабо ассоциированных, т.е. практически свободных, молекул воды. Таким образом, благодаря ионной природе сульфогрупп и, соответственно, их высокой гигроскопичности, вокруг них формируется ансамбль из ассоциированных и свободных молекул воды.

Сравнение спектров разных гидратных форм NMMO: МГ-NMMO и высокоплавкого NMMO, использованных для растворения ПАН-МС, показано на рис. 4.

Различное количество воды в этих образцах NMMO приводит к существенным различиям их ИК-спектров. МГ-NMMO считается термодинамически равновесным кристаллогидратом NMMO, кристаллическая ячейка которого содержит одну молекулу кристаллизационной воды. Присутствие острой и достаточно интенсивной полосы

 $3020 \, \text{cm}^{-1} \, \text{в}$ спектре МГ-NMMO является прямым указанием на кристаллогидратную форму этого соединения. Полоса от высокополярной связи N \rightarrow O в спектре МГ-NMMO лежит при 994 см $^{-1}$.

Высокоплавкий NMMO представляет собой сесквигидрат, т.е. набор равновесных и неравновесных кристаллических форм с различным содержанием воды у атома кислорода связи $N \rightarrow 0$. Наличие свободных реакционноспособных электронных пар на атоме кислорода обеспечивает большую по сравнению с моногидратом эффективность взаимодействия с протонами воды. В ИК-спектре это отражается длинноволновым сдвигом полосы от валентных колебаний связи N→O от 994 см⁻¹ в спектре МГ-NMMO до 985 см⁻¹ в спектре высокоплавкого NMMO. Значительные различия в спектрах двух гидратных форм NMMO можно видеть и в области поглощения связей групп СН₂ морфолинового кольца (2980— 2880 см^{-1} — валентные колебания ν_{CH} и 1400— 1600 см^{-1} — деформационные колебания δ_{CCH}), т.е. конформации морфолинового кольца в двух гидратных формах различны. Кроме того, следует отметить присутствие слабых полос в области $3328 \text{ и } 3243 \text{ см}^{-1}$ от менее ассоциированных связей ОН в спектре МГ-NMMO и очень слабой полосы 3020 см^{-1} от сильно ассоциированной (кристаллизационной) воды в спектре NMMO. Следовательно, нельзя исключить присутствия моногидратной формы в высокоплавком NMMO и наоборот.

На рис. 5 сопоставлены спектры ПАН-МС и МГ-NMMO со спектрами их смесей — механиче-

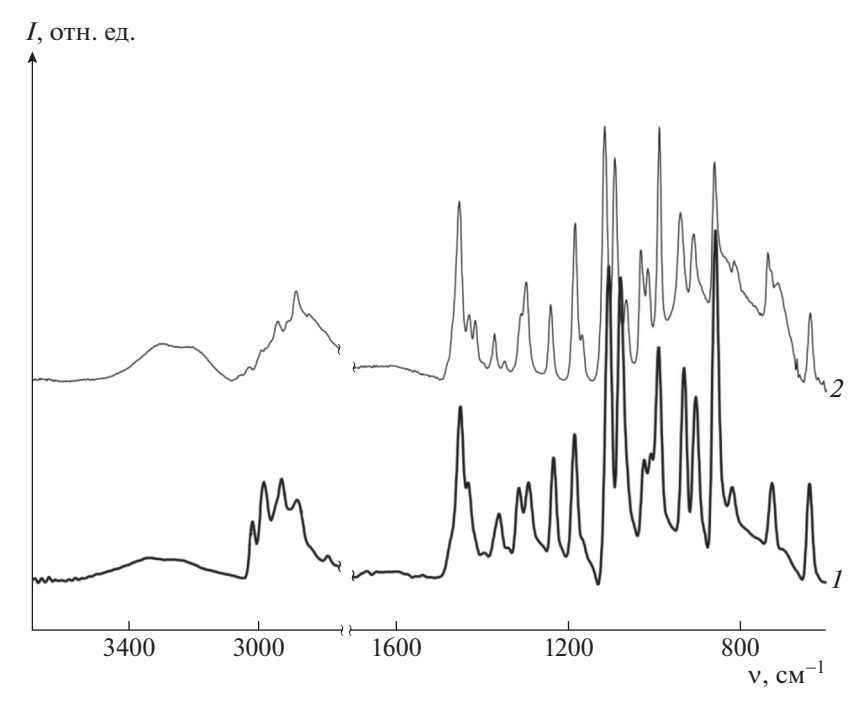


Рис. 4. ИК-спектры МГ-NMMO (1) и высокоплавкого NMMO (2).

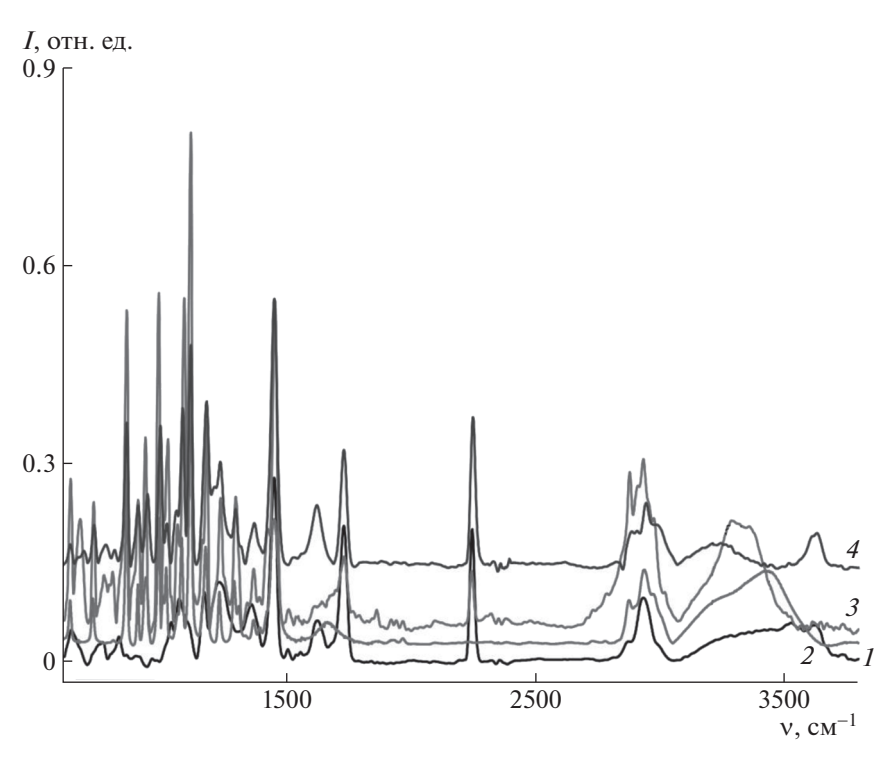


Рис. 5. ИК-спектры ПАН-МС (I), МГ-NMMO (2) и их твердофазных смесей, приготовленных механическим смешением (3) и активационной обработкой (4).

ской и активированной. Видно, что спектры ни одной из смесей не представляют собой суперпозицию спектров исходных компонентов.

В спектре механической смеси ПАН-МС— МГ-NMMO (спектр 3) полоса валентных колеба-

ний связей ОН более чем на 100 см⁻¹ смещается в сторону длинных волн, но остается расщепленной. Это указывает на то, что гидроксильные группы в молекулах воды сильно ослабляются в результате водородного связывания. Тем не ме-

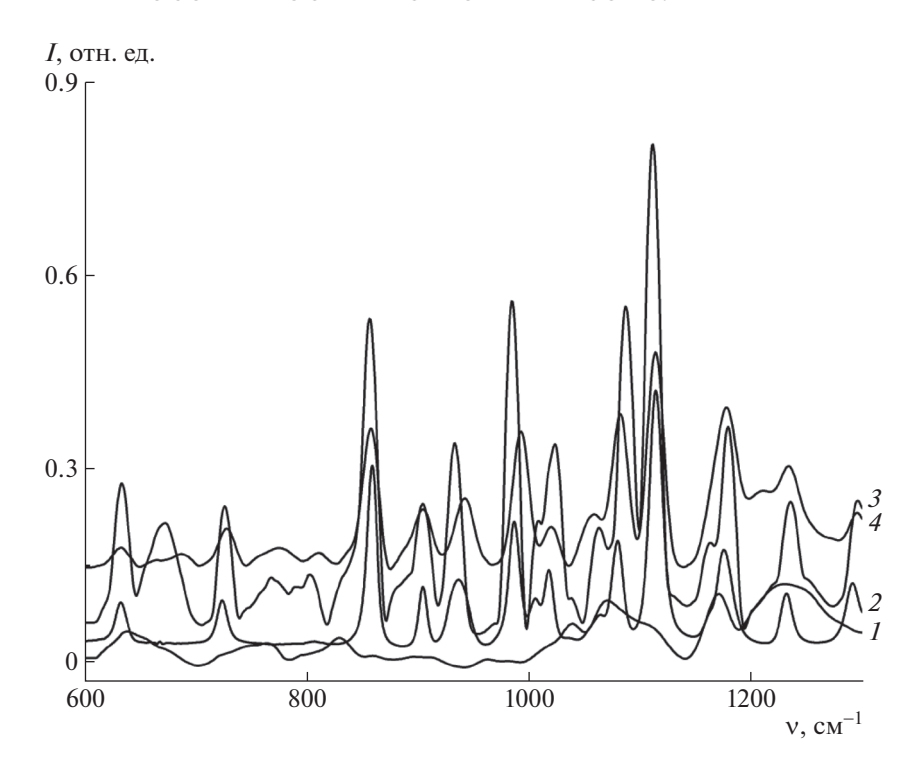


Рис. 6. ИК-спектры ПАН-МС (1), МГ-NMMO (2) и их твердофазных смесей, приготовленных механическим смешением (3) и активационной обработкой (4). Дана детализация в области поглощения связей $N \to 0$ и O=S-O.

нее кристаллы МГ-NMMO сохраняются. В спектре активированной смеси расщепления полосы от групп ОН уже не наблюдается и максимум поглощения фиксируется при 3225 см^{-1} . Кроме того, интегральная интенсивность широкой полосы 3225 см^{-1} в спектре активированной смеси значительно ниже, чем интенсивность расщепленной полосы 3320 см^{-1} в спектре механической смеси, что, возможно, обусловлено меньшим содержанием воды в активированной смеси по сравнению с механической.

Детализация спектров, изображенных на рис. 5, в области $600-1300~{\rm cm}^{-1}$, позволяющая более наглядно проследить изменения как в положении максимумов, так и относительные интенсивности полос в спектрах смесей и исходных компонентов, представлена на рис. 6.

Наибольшие изменения наблюдаются в областях спектров, относящихся к ПАН-МС, в области поглощения связей сульфогруппы в составе ПАН и связи $N\rightarrow O$ в составе NMMO. Так, в области поглощения связей S-O полоса 636 см $^{-1}$ резко возрастает по интенсивности и смещается до 671 см $^{-1}$ в спектре механической смеси, а в спектре активированной смеси в этой области прослеживаются две полосы -677 и 688 см $^{-1}$ достаточно низкой интенсивности. Вторая полоса от связей S-O 830 см $^{-1}$ в спектре исходного полимера смещается в сторону длинных волн в спектре меха-

нической смеси до $802 \, \mathrm{cm}^{-1}$, а в спектре активированной смеси до $810 \, \mathrm{cm}^{-1}$. Такие изменения в области поглощения сульфогруппы иллюстрируют ее участие в ассоциации с NMMO и в механической смеси, и в активированной, при этом активация смеси приводит к изменениям как геометрических параметров (валентные углы O-S=O), так и распределения электронов в сульфогруппе.

Полосы в области $900-990~{\rm cm}^{-1}$ от связи $N{\to}O$ в NMMO также сильно растут по интенсивности в спектре механической смеси, а в спектре активированной смеси происходит падение интенсивности и смещение этих полос в коротковолновую область. В спектре, представленном на рис. 5, можно видеть, что полоса от нитрильной группы (2244 ${\rm cm}^{-1}$), а также ее интенсивность, резко меняются в спектрах механической и активированной смеси: в спектре механической смеси относительная интенсивность полосы 2244 ${\rm cm}^{-1}$ значительно уменьшается по сравнению со спектром ПАН-МС, а в спектре активированной смеси, напротив, растет по интенсивности.

Все изменения в спектрах механической и активированной смесей ПАН-МС с МГ-NММО позволяют заключить, что при механическом смешении полярные связи $N{\to}0$ в молекуле МГ-NMMO координируются с сульфогруппами в составе ПАН-МС. При этом молекулы воды в координационных сферах МГ-NMMO и ПАН-МС

создают единую систему водородных связей между сульфогруппами полимера и группами $N \rightarrow O$ моногидрата NMMO. При активации смеси взаимодействие между сульфогруппами полимера и связью $N \rightarrow O$ MГ-NMMO ослабляется, меняются геометрические параметры сульфогрупп, при этом MГ-NMMO трансформируется в более

высокоплавкую кристаллогидратную форму, частично теряя воду, а нитрильная группа значительно поляризуется за счет ассоциации через молекулу воды со связью $N\rightarrow O$. Представлено схематическое изображение, иллюстрирующее взаимодействия в системе ПАН-NMMO в механических (а) и активированных смесях (б):

(a)
$$CH - CH_{2} - CH - CH_{3} - CH - CH_{3} - CH - CH_{3} - CH_{3}$$

Перераспределение водородных связей в активированной системе ПАН-МС-МГ-NMMO с потерей кристаллизационной воды молекулами МГ-NMMO неизбежно должно привести к возрастанию температуры плавления NMMO и растворения ПАН-МС в NMMO соответственно. Приведенная на рис. 1 кривая растворимости активированной системы ПАН-МС-МГ-NMMO (кривая 2) служит тому подтверждением. Так, при 5%-ном содержании полимера температура растворения возрастает на 20°C. Отсюда понятны и рассмотренные выше морфологические особенности фазовых превращений активированной твердофазной системы ПАН-МС-МГ-NММО при нагревании и переходе в вязкотекучее состояние.

Сравнение спектров ПАН-МС и высокоплавкого NMMO со спектрами их механической и активированной смесей представлено на рис. 7.

В спектре механической смеси ПАН-МС-NMMO заметны все спектральные признаки проявления миграции воды, которые были отмечены для активированной смеси ПАН-МС-МГ-NMMO (см. рис. 5, спектр 4), т.е. кристаллизационная вода молекул NMMO в образующемся комплексе смещена к кислороду связи S=O. В спектре активированной смеси полосы нитрильных групп становятся очень интенсивными, а полосы сульфогрупп еще более сдвинуты по сравнению со спектром аналогичной смеси с моногидратом, т.е. нековалентное связывание NMMO с полимером через молекулы воды в этом случае проявляется еще сильнее.

Высокая степень взаимодействий высокополярных компонентов системы объясняет особенности процесса растворения ПАН-МС в NMMO. Как было рассмотрено выше, потеря кристаллизационной воды молекулами NMMO в формирующихся комплексах, казалось бы, должна повысить (как и в случае активированной смеси ПАН-МС-МГ-NMMO) температуру плавления—растворения системы, но можно видеть либо ее постоянство при механическом смешении, либо понижение при активации.

Факт депрессии температуры плавления и растворения в системе МГ-NMMO – целлюлоза известен [38, 39]. Так, увеличение содержания целлюлозы с 5 до 13% в МГ-NMMO снижает температуру плавления системы на 2-6°C. В наших ранних исследованиях [40], посвященных изучению механизма твердофазного взаимодействия в системе целлюлоза-NMMO, депрессия температуры плавления-растворения проявляется еще сильнее. Было показано, что активированные смеси на основе NMMO с температурой плавления 150 и 170°C, содержащие 30% целлюлозы, плавятся с образованием растворов при 130°C, т.е. температурная депрессия составляет 20 и 40°C соответственно. Проведение комплекса физикохимических и термических исследований систем позволило установить, что столь резкое снижение температуры плавления обусловлено сильным электронно-донорно-акцепторным взаимодействием целлюлозы и растворителя в процессе твердофазной механохимической активации.

Наличие сульфогрупп ионной природы в макромолекулах сополимера ПАН-МС, вероятно,

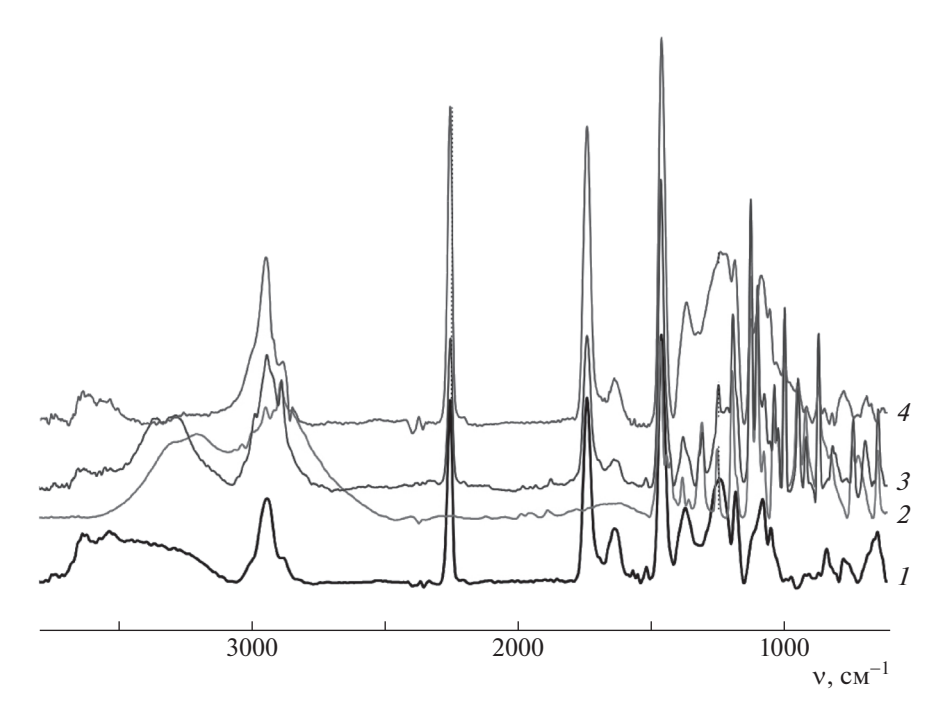


Рис. 7. ИК-спектры ПАН-МС (I), NMMO (2), механической смеси ПАН-МС-NMMO (3), и активированной смеси ПАН-МС-NMMO (4).

приводит при активации к еще более сильному взаимодействию ПАН-МС с электродонорными молекулами растворителя. Разная реакционная активность двух образующихся в результате реакции твердофазного комплексообразования с сульфогруппами сополимера ПАН обезвоженных гидратных форм NMMO (молекулы MГ-NMMO, теряя воду, становятся более высокоплавкими, а молекулы NMMO – практически безводными) и определяет различный характер процессов растворения этих систем. При этом в случае МГ-NMMO миграция воды происходит не в непрерывной системе, а в капле эмульсии раствора, что влечет формирование в ней фазы высокоплавкого NMMO, и, соответственно, увеличение температуры растворения.

Представленные данные о растворимости и морфологических особенностях твердофазной системы в ходе образования раствора в различных гидратах NMMO позволяют сделать вывод о том, что наиболее перспективными для получения прядильных растворов и формования на их основе композиционных волокон являются активированные смеси сополимера ПАН-МС в высокоплавком NMMO, которые дают возможность осуществить растворение при более низкой температуре и получить более концентрированные растворы.

Комплекс проведенных исследований процесса растворения сополимера ПАН-МС, в различных кристаллогидратах NMMO позволил выявить следующие закономерности:

- N-метилморфолин-N-оксид является высокоэффективным прямым растворителем, способным при применении способа твердофазного растворения переводить в раствор до 50% сополимера ПАН-МС.
- Кривые растворимости сополимера ПАН в различных кристаллогидратах NMMO с разной предысторией приготовления твердофазных растворов имеют специфический характер, обусловленный сильным взаимодействием функциональных групп полимера и растворителя.
- Морфологические превращения, происходящие в процессе растворения и перехода в текучее состояние твердофазных растворов, определяются кристаллогидратной формой NMMO.
- ИК-спектроскопические исследования позволили установить механизмы взаимодействия сополимера ПАН-МС с различными гидратами NMMO, реализующиеся как при механическом смешении, так и в результате твердофазной активации в условиях воздействия сдвиговых деформаций.

Предположительная структура комплексов полимер—растворитель проиллюстрирована схематически.

Работа выполнена при финансовой поддержке Российского научного фонда (грант № 17-79-30108).

СПИСОК ЛИТЕРАТУРЫ

- Kulichikhin V.G., Skvortsov I.Yu., Mironova M.I., Ozerin A.N., Kurkin T.S., Berkovich A.K., Frenkin E.I., Malkin A.Ya. // Adv. Polym. Technol. 2018. V. 37. № 4. P. 1099.
- 2. Makarov I.S., Golova L.K., Vinogradov M.I., Chernenko D.N., Kulichikhin V.G. // IOP Conf. Ser. Earth and Environmental Science. 2019. V. 316. № 1. P. 012032.
- 3. Eslami Farsani R., Shokuhfar A., Sedghi A. // Fibre Chem. 2006. V. 38. P. 383.
- 4. Konkin A.A., Azarova M.T., Volkova N.S., Levit R.M., Sergeev V.P. // Fibre Chem. 1978. V. 9. P. 298.
- Budnitskii G.A., Matveev V.S., Kazakov M.E. // Fibre Chem. 1994. V. 25. P. 360.
- Spörl J.M., Ota A., Son S., Massone K., Hermanutz F., Buchmeiser M.R. // Mater. Today Commun. 2016. V. 7. P. 1.
- 7. *Сазанов Ю.Н.* // Вестн. Тверского гос. ун-та. Сер. Химия. 2017. № 2. С. 96.
- 8. Mainka H., Hilfert L., Busse S., Edelmann F., Haak E., Herrmann A.S. // J. Mater. Res. Technol. 2015. V. 4. № 4. P. 377.
- 9. *Мухамедзянов А.Т., Мухамедзянова А.А., Гимаев Р.Н., Галиахметов Р.Н.* // Вестн. Башкирского ун-та. 2015. Т. 20. № 4. С. 1218.
- 10. *Konkin A.A.* Carbon and Other Heat-Resistant Fibrous Materials. M.: Khimiya, 1974. P. 148.
- Serkov A.T., Radishevskii M.B. // Fibre Chem. 2008.
 V. 40. P. 24.
- 12. Kibayashi M., Seike S., Pragner L.A. Pat. 20130253096A1 USA. 2011.
- 13. Higuchi T., Sakaguchi M. Pat. 3093380A1 EP. 2014.
- Подкопаев С.А., Тюменцев В.А. Пат. 2330906 Россия. 2007.
- Grishin D.F., Grishin I.D. // Fibre Chem. 2019. V. 50. P. 514
- 16. Бадамшина Э.Р., Грищук А.А., Тарасов А.Е., Эстрин Я.И., Алдошин С.М. Пат. 2565767 Россия. 2014.
- 17. Гришин И.Д., Курочкина Д.Ю., Гришин Д.Ф. Пат. 2627264 Россия. 2016.
- 18. *Фитцер Э., Фрос В.* // Хим. волокна. 1992. № 2. С. 14.
- 19. Zhidkova O.V., Andreeva I.N., Radishevskii M.B., Serkov A.T., Kalashnik A.T., Chichinova N.V. // Fibre Chem. 1994. V. 25. P. 368.
- Chernikova E.V., Toms R.V., Prokopov N.I., Duflot V.R., Plutalova A.V., Legkov S.A., Gomzyak V.I. // Polymer Science B. 2017. V. 59. P. 28.
- 21. *Jiang H., Pan D., Zhou M.* // Global J. Eng. Sci. Res. Management. 2015. V. 2. № 8. P. 9.

- 22. *Gupta A., Singhal R.* // J. Polym. Sci., Polym. Phys. Ed. 1983. V. 21. № 11. P. 2243.
- 23. Hattori M., Yamazaki H., Saito M., Hisatani K., Okajima K. // Polym. J. 1996. № 28. P. 594.
- 24. *Iovleva M.M.*, *Smirnova V.N.*, *Budnitskii G.A.* // Fibre Chem. 2001. V. 33. № 4. P. 262.
- 25. *Makarov I.S., Golova L.K., Kuznetsova L.K., Ребров А.В., Беркович А.К., Скворцов И.Ю., Куличихин В.Г.* // Russ. J. General Chem. 2017. V. 87. № 6. P. 1351.
- 26. Johnson D.L. Pat. 3447939 USA. 1969.
- 27. Golova L.K. // Fibre Chem. 1996. V. 28. № 1. P. 5.
- 28. *Голова Л.К.* // Рос. хим. журн. 2002. Т. 46. № 1. С. 49.
- Жбанков Р.Г., Козлов П.В. Физика целлюлозы и ее производных. Минск: Наука и техника, 1983. С. 296.
- 30. Makarov I.S., Golova L.K., Vinogradov M.I., Mironova M.V., Levin I.S., Bondarenko G.N., Shandryuk G.A., Arkharova N.A., Kulichikhin V.G. // Polymer Science A. 2019. V. 61. № 5. P. 598.
- 31. *Golova L.K., Makarov I.S., Matukhina E.V., Kuptsov S.A., Shambilova G.K., Kulichikhin V.G.* // Polymer Science A. 2008. V. 50. № 6. P. 665.
- 32. Golova L.K., Makarov I.S., Plotnikova E.P., Shambilova G.Sh., Tereshin A.K., Kulichikhin V.G. // Polymer Science A. 2009. V. 51. № 3. P. 283.
- 33. Morgenstern B., Leillinger O., Maron R. // Die Angewandte Makromol. Chem. 1996. V. 243. № 4251. P. 129.
- 34. *Макаров И.С., Голова Л.К., Кузнецова Л.К., Шляхтин А.В., Нифантьев И.Э., Куличихин В.Г.* Пат. 2541473 Россия. 2014.
- 35. Kulichikhin V., Golova L., Makarov I., Bondarenko G., Makarova V., Ilyin S., Skvortsov I., Berkovich A. // Eur. Polym. J. 2017. V. 92. P. 326.
- Городнякова И.С., Щербина Л.А., Устинов К.Ю. // Полимерные материалы и технологии. 2017. Т. 3. № 4. С. 37.
- 37. Голова Л.К., Романов В.В., Лунина О.Б., Платонов В.А., Папков С.П., Хорозова О.Д., Якшин В.В., Белашева Т.П., Сокира А.Н. Пат. 1645308 Россия. 1991.
- 38. *Chanzy H., Peguy A.* // Polym. Sci., Polym. Phys. 1980. V. 18. № 5. P. 1137.
- Иовлева М.М., Смирнова В.Н. // Высокомолек. соед. А. 1986. V. 25. № 4. С. 749.
- Голова Л.К., Бородина О.Е., Лунина О.Б., Зенков И.Д., Андреева И.Н. // Физико-химические основы получения гидратцеллюлозных волокон нетрадиционными способами / Под ред. С.П. Папкова, И.П. Бакшеева. Мытищи: ВНИИВпроект, 1989. С. 113.